

С.А. Болегенова , **А.С. Аскарова** , **Ш.С. Оспанова*** ,

А.З. Нурмуханова , **Н.А. Адильбаев** , **А.Б. Маканова** ,

С.А. Жумагалиева , **А. Шалкар** 

Әл-Фараби атындағы Қазақ ұлттық университеті, Алматы қ., Қазақстан
e-mail: Shynar.Ospanova@kaznu.kz

ЕКІФАЗАЛЫ ЖҮЙЕЛДЕГІ СҰЙЫҚ БӨЛШЕКТЕРІНІҢ ЕКІНШІ ТЕКТІ БҮРКІЛУІН МОДЕЛЬДЕУ БОЙЫНША ЕСЕПТЕУ ТӘЖІРИБЕЛЕРИ

Сұйық отындардың жануын сандық зерттеу – жылуфизиканың күрделі мәселелерінің бірі, өйткені, күрделі өзара байланысқан процестер мен құбылыстардың едәүір көп санын ескеруді талап етеді. Сондықтан есептеуіш тәжірибе жану процесін зерттеу мен жануға негізделетін түрлі құрылғыларды жабалаудың аса маңызды элементіне айналып отыр. Оның рөлі болашақта да арта түседі деп нық сеніммен айтуға болады. Сондықтан жылуфизикасында есептеуіш гидродинамика әдістері етек жайып отыр, өйткені, тәжірибенің виртуалды прототипі негізінде оны жетілдіру мүмкіндігі сөзсіз түады. Берілген жұмыста отынның бұрку және жану процесінің бастапқы параметрлеріне байланысты екіфазалы гетерогенді әсерлесетін жүйелерді зерттеу бойынша есептеу эксперименттері жүргізілді. Жүргізілген есептеу эксперименттерінің нәтижесінде тамшылардың максимал жану температурасының бұрку массасы мен қысымына тәуелділігі, сондай-ақ жану камерасының білктігі бойынша сұйық отынның екі түрінің (октан және додекан) тамшыларының дисперсиясының екі өлшемді графигі алынды. Инжектор соплосынан 50 см қашықтықта уақыт бойынша тамшылардың Саутер орташа диаметрінің таралуының алынған сандық есептеулері эксперименттік мәліметтермен салыстырылды, нәтижесінде эксперименттік мәліметтер додекан үшін сандық есептеулермен жақсы келісім беретіндігі анықталды. Екіфазалы отын жүйелерін концентрациялық және температуралық сипаттамаларын зерттеу бойынша жүзеге асырылған компьютерлік эксперименттер нәтижесінде октан мен додеканның тиімді жану режимі анықталды.

Тұйін сөздер: отын, температура, масса, қысым, модельдеу, бұрку, жану.

S.A. Bolegenova, A.S. Askarova, Sh.S. Ospanova*, A.Z. Nurmukhanova,
N.A. Adilbayev, A.B. Makanova, S.A. Zhumagaliyeva, A. Shalkar
Al-Farabi Kazakh national university, Almaty, Kazakhstan
e-mail: Shynar.Ospanova@kaznu.edu.kz

Computational experiments on simulation of liquid particles' secondary atomization in two-phase systems

Understanding the combustion of liquid fuels poses a complex challenge in thermal physics due to the interconnected nature of the various processes involved. It is becoming increasingly crucial to rely on computer-based experiments for understanding combustion and creating innovative burning-related devices. It may have increased importance in the role. In thermal physics, there is a growing trend toward utilizing computer-based techniques to study liquid fuels, offering the potential to enhance experiments through numerical simulations. This research involved conducting computerized experiments to understand the process of fuel combustion and the transformation into gas, focusing on the initial fragmentation and combustion stages. As a result of the computational experiments, the correlation between the temperature change of burning droplets, their size, and injection speed was investigated. Also, visual representations were created to demonstrate the dispersion of various fuel droplets in a combustion chamber. The obtained numerical calculations of the droplets' Sauter mean diameter distributions of 50 cm away from the nozzle of the injector were compared with experimental points, because of which the test demonstrated the accuracy of the numerical data for dodecane. The optimal combustion mode of octane and dodecane was established based on computer experiments to study the amount of fuel present and its temperature in a two-phase liquid system.

Key words: fuel, temperature, mass, pressure, modeling, spray, combustion.

С.А. Болегенова, А.С. Аскарова, Ш.С. Оспанова*, А.З. Нурмуханова,

Н.А. Адильбаев, А.Б. Маканова, С.А. Жумагалиева, А. Шалкар

Казахский национальный университет им. аль-Фараби, г. Алматы, Казахстан

*e-mail: Shynar.Ospanova@kaznu.kz

Вычислительные эксперименты по моделированию вторичного распыла жидкых частиц в двухфазных системах

Численное исследование горения жидкого топлива является сложной задачей теплофизики, так как требует учета большого количества сложных взаимосвязанных процессов и явлений. Поэтому вычислительный эксперимент становится все более важным элементом исследования процессов горения и проектирования различных устройств, использующих процесс горения. Можно с уверенностью говорить, что его роль будет возрастать и в дальнейшем. В этой связи все большее распространение в теплофизике получают методы вычислительной гидродинамики, когда появляется возможность оптимизировать эксперимент на основе его виртуального прототипа. В данной работе были проведены вычислительные эксперименты по исследованию двухфазных гетерогенных реагирующих систем в зависимости от начальных параметров процесса распыла и сжигания топлив. В результате проведенных вычислительных экспериментов были получены зависимости максимальной температуры горения капель от массы и давления впрысков, а также двумерные графики дисперсии капель двух видов жидкого топлива (октан и додекан) по высоте камеры сгорания. Полученные численные расчеты распределения Сautеровского среднего диаметра капель по времени при расстоянии 50 см от сопла инжектора были сравнены с экспериментальными данными, в результате чего установлено, что экспериментальные данные дают хорошее согласие с численными расчетами для додекана. На основе проведенных компьютерных экспериментов по изучению концентрационных и температурных характеристик двухфазных топливных систем установлен оптимальный режим горения октана и додекана.

Ключевые слова: топливо, температура, масса, давление, моделирование, распыл, горение.

Kіріспе

Компьютерлендіру мен ғылымның қарқынды өрлеу деңгейінің жоғарылауы, әрі көмекші техникалық құралдардың мүмкіндігінің кеңеюімен техникалық физика, жылуфизикасы және отындардың жану теориясында отынды үтімді жағу және оны саналы түрде тұтыну процестерінің экологиялық залалсыздығын қамту саласында өзекті мәселелерді шешудің озық тәжірибелері ойластырылып, біргалай табысқа жету үтінде.

Бұгінгі күні қалпына келетін энергия көздерін игеру, әрі оларды тиімді тұтынуды жандандыруға күш салынып жатқанымен, көшпілік мемлекеттерде энергияның 85%-ға жуығы жер қойнауынан қазып алынатын жаңғыш отын түрлерінен игеріледі [1]. Энергетикалық талдаулардың қорытындысына жүгінsek, 39% энергия көлемі сүйік отындардың алуан түрлерін жағудан алынатын көрінеді, ал оның ішінде көлік тасымалы секторына жұмсалатын энергия өндірісінің пайыздық үлесі 97% көрсеткішті көрсетіп отыр [2-5]. Сүйік отынды басты энергия көзі ретінде қажетке жаратумен қатар, жұмыс істей принципі оларды жағумен байланысты құрылғылардың

эффективтілігін жоғарылатуға және шығарылатын зиянды қалдықтардың мөлшерін неғұрлым азайтуға да ерекше назар аударылуы керек. Соңғы уақыттарда әлемдегі көшпілік мемлекеттерде, оның ішінде Еуропа мен Орта Азия елдерін қоса есептегендеге, отын сапасының экологиялық қауіпсіздігіне қойылатын талаптардың өсу динамикасы байқалады.

Зиянды газ тәрізді қалдықтардың өндірісін мейілінше азайтуда аса тиімді, әрі қалдықтардың төменгі деңгейіне негізделетін энергия түрлендіруші құрылғылардың жетілдірілген жүйелерін әзірлеу көш бастап тұрғаны рас. Бұл шындығында көмірқышыл газының (CO_2) болінүйне байланысты, әрі оның салдарынан болашақта өле көліктегінің стратосфераның озон қабатының қажетсіз нашарлауына әкелмейтіндігіне кепілдік береді. Мұнайдың ғаламдық тұтыну көлемі Халықаралық энергетика агенттігінің топшылауынша күн санап әлі де үлғаятын болады [6-9].

Отынды пайдаланудың тиімділігі, одан шығатын қондырғының өнімділігі мен орнықтылығы отынды дайындау, оны беру және үтімді жағу процестерін қамтитын отынды жағудың онтайлы үйимдастырылуына тікелей байланысты. Онтайлы режимдегі іштен жану

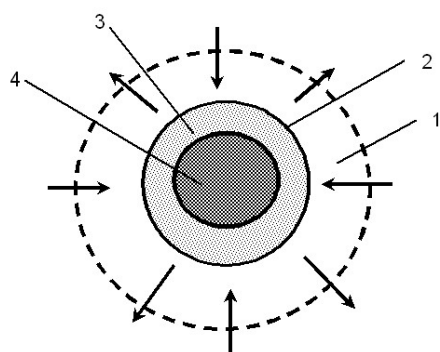
қозғалтқыштарын қалыптастырудагы барша зерттеулер көлік құралдарынан атмосфераға шығарылатын ластаушы заттардың мөлшерін кемітуге бағытталған.

Алғашқы сатыда сұйық отын қайнау температурасына дейін қызып, әрі қарай булануға көшеді, келесі сатыда жану процесі жүзеге асырылады. 1-суретте сұйық тамшысының жану процесінің сызбалық құрылымы көлтірілген. Сұйық көмірсутекті отын түрлерінің қайнау температурасы тұтанды шегінен төмен болатындықтан жанудан бұрын булану процесі жүзеге асырылады. Өндірілетін жану өнімдерімен ілесіп, диффузияланушы ауаның үлесі жану аймағына тереңдей түседі. Жану аймағының ауданы тамшылардың жану жылдамдығы мен оларды бүркүл сипаттына тікелей төүелді болатыны анық: бүркілетін тамшылардың өлшемі неғұрлым ұсақ болса, жану процесі соғұрлым толыққанды өтетіні белгілі.

2-суретте сызба түрінде зымырандық қозғалтқыштарда орын алғатын шарттарға сәйкес

жағдайдағы серіктес ауа ағынымен бүркүл түрі бейнеленген. Мұнда сұйық оттегінің төменгі жылдамдықта бүркілген орталық ағыншасын газ тәрізді сутегінің жоғары жылдамдықты ағыны өз қозғалысымен бірге ілестіріп алғып кетеді. Сұйық ағыншасы толқынды сипатқа еніп, содан соң қозғалыстағы газдың жылдамдығының жоғары болуының себебінен жіппшелер мен ұсақ тамшыларға жіктеліп кетеді.

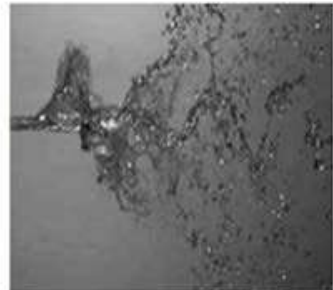
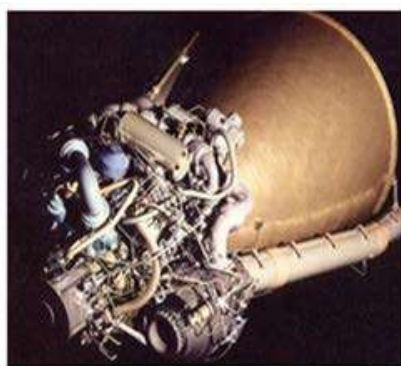
Инжектор соплосының кірісіне жақын ауданда сұйық отынның фрагменттерге жіктеліп үлгермейтін аймағын сұйық ядросы деп атайды. Мұнда сұйық салмағының фракциясы бірге жақындалап, ал жалпы сұйық ағынының ауданы мейілінше бұзылуға ұшырай қоймайды [10-13]. Көпшілік құбылыстар жоғарыда аталған сұйық ядросының үзілүү шекарасында жүзеге асырылатындықтан фрагменттер талшықтарға жіктеліп, жоғары жылдамдықты ағыстың әсерінен олар өз кезегінде тамшыларға ажырайады. Сұйық отын массасының мұндай ұсақ фрагменттерге жіктелуі бірінші текті бүркүл құбылысымен сипатталады.



1-сурет – Көмірсутекті отын тамшысының жану сатылары

1 – камерадағы газ бен жану өнімдерінің таралу аймағы,

2 – сұйық отын көлемі, 3 – отын буының шоғырлану аймағы, 4 – тамшы

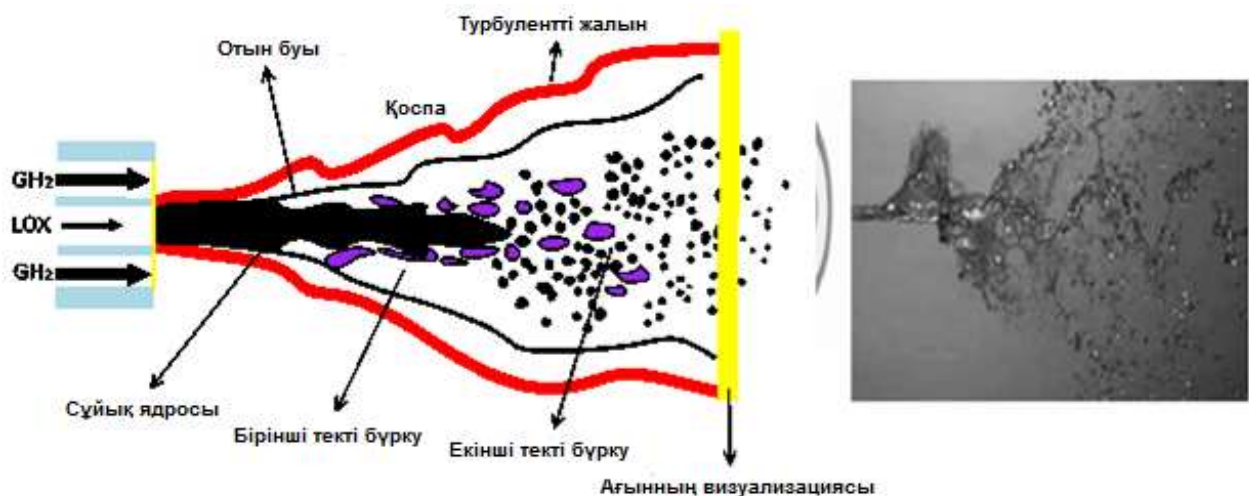


2-сурет – Реактивті іштен жану қозғалтқышындағы отынды бүркүдін мысалы

Ажырап шыққан сұйық фрагменттері өзара соқтығу процесінің салдарынан бірігіп, біртұтас масса құрайды немесе одан әрі қарай ұсақ тамшыларға жіктеліп кетеді. Аталған құбылыс жоғары жылдамдықта

қозғалатын газ ағынының өсерінен жүзеге асырылады.

3-суретте бірінші және екінші текті үйрек ағынының бүркілу процесінің таралуының сыйбалық бейнесі келтірілген [14].



3-сурет – Сұйық отын ағыншасының бүрку сыйбасы

Қолданылатын әдістер және нысаннның сандық моделі

Модельдеу тәжірибелерін жүзеге асыру мақсатында мәселенің математикалық моделі тұрғызылды: сұйық отынның бүрку және жану процестерін сипаттайтын үзіліссіздік, қозғалыс, компонент концентрациясының тендеулері мен эмпирикалық турбуленттілік моделі келтірілді.

Тамшылардың газ ағында таралуын сипаттайтын үзіліссіздік тендеуі келесі нұсқада жазылады [15-17]:

$$\frac{\partial \rho}{\partial t} + \operatorname{div}(\rho \vec{u}) = S_{mass}, \quad (1)$$

мұндағы \vec{u} – сұйық отын ағынының векторлық жылдамдығы. Екіфазалы ағыс жағдайында S_{mass} ағын көзі тамшылардың булануы немесе конденсацияның салдарынан газ тығыздығының локальді градиентін сипаттайты. Бірфазалы қарапайым біртекті жүйелерде жоғарыдағы ағын көзі нолге тең деп қарастырылады.

Тамшылардың серіктес газ ағындағы қозғалысы импульстің сақталу заңымен сипатталады [15-17]:

$$\rho \frac{\partial \vec{u}}{\partial t} + \rho (\vec{u} \cdot \operatorname{grad}) \vec{u} = \operatorname{div} \vec{\xi} + \rho \vec{g} + S_{mom}, \quad (2)$$

$$\vec{\xi} = -P \vec{I} + \vec{\tau}.$$

(2) тендеудің он жағы қысымның P өзгерісі, тұтқыр кернеу тензоры $\vec{\tau} = \lambda \vec{I} \operatorname{div} \vec{u} + 2 \mu \vec{D}$ және сұйық көлемінің салмағының $\rho \vec{g}$ есебінен негізгі ағынга келіп қосылатын импульстің өсімшесін білдіреді. Мұндағы $D_{ij} = \frac{1}{2} \left(\frac{\partial u_i}{\partial x_j} + \frac{\partial u_j}{\partial x_i} \right)$ – жылдамдық тензорының деформациясы, \vec{I} – сандық матрица, μ және λ – динамикалық және екінші тұтқырлық коэффициенттері.

Бірфазалы біртекті газ жүйелерінде $S_{mom} = 0$ тең болады; екіфазалы өсерлесуші ағыстарда S_{mom} ағын көзі тамшылардың газ ағынна

ілесе қозғалуы нәтижесіндегі импульстің локальді өзгеріс жылдамдығын білдіреді.

Жүйенің ішкі энергиясы жылу ағыны мен оның таралу жылдамдығына тәуелді болады [15-17]:

$$\rho \frac{\partial E}{\partial t} = \vec{t} : \vec{D} - \rho \operatorname{div} \vec{u} - \operatorname{div} \vec{q} + S_{energy}, \quad (3)$$

тендеудегі q Фурье өрнегінен анықталатын меншікті жылу ағынын сипаттайты, $\vec{t} : \vec{D}$ шамасы тұтқыр диссиляцияның салдарынан туындайтын ішкі энергияның өзгерісінің өсімшесін білдірсе, S_{energy} бүркілген тамшылардан тұратын сұйық фазаның ішкі энергияның өсімшесіне қосатын үлесін көрсетеді.

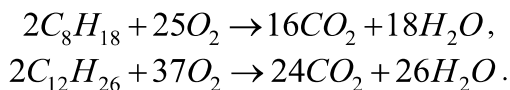
Концентрацияның m компонентінің сакталу тендеуі келесідей болады [15-17]:

$$\frac{\partial(\rho c_m)}{\partial t} = -\frac{\partial(\rho c_m u_i)}{\partial x_i} + \frac{\partial}{\partial x_i} \left(\rho \cdot D_{c_m} \cdot \frac{\partial c_m}{\partial x_i} \right) + S_{mass}, \quad (4)$$

бұл жердегі ρ_m отын-ауалы қоспаның m -ші компонентінің массалық тығыздығын білдірсе, ρ жалпы қоспаның толық тығыздығын көрсетеді.

Жұмыста турбулентті ағыстарды инженерлік есептеулердің анағұрлым универсал моделдері ретінде екі дифференциалдық тендеуден тұратын $k - \varepsilon$ моделі қолданылды. Мұнда турбулентті ағынның кинетикалық энергиясы K және оның диссиляция дәрежесі ε үшін қос эмпирикалық тендеу шешіледі [18-21].

Жұмыста іштен жану қозғалтқыштарында жиі пайдаланылатын октан және додекан сұйық отындары қолданылды. Олардың ауамен тотығуының химиялық ауысу реакциясы келесі түрде жазылады:

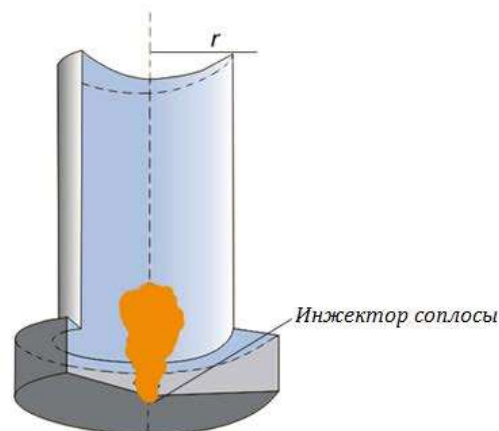


Барлық көмірсутекті отындардың жану реакциясының соңында көміртегінің қос тотығы мен ылғал түзіледі.

Есептеуіш тәжірибе нәтижелері

Модельдеу бойынша эксперименттерді жүргізу барысында өр түрлі іштен жану қозғалтқыштарындағы сұйық отынды бүркү және оның жану процесінің химиялық кинетикасын сипаттау үшін KIVA-II қолданбалы компьютерлік бағдарламасы қойылған міндеттерге сәйкес бейімделді [22]. Бұл бағдарлама кешінінің көмегімен жоғары турбулентті өсерлесуші ағындардағы тамшылардың тұтану, булану және жану процестерін модельдік камерада визуализациялауға болады. Нәтижесінде жану камерасының биіктігі бойымен ағыстың визуализациясын, яғни оның аэродинамикалық, температуралық, концентрациялық және турбуленттік параметрлерін есептеуге мүмкіндік туындаиды.

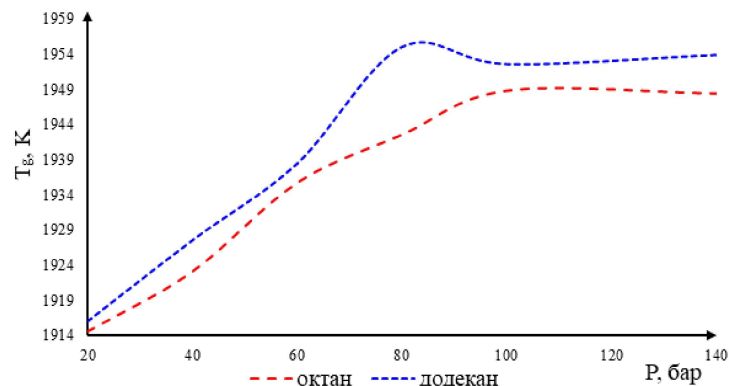
Жану камерасының геометриялық пішіні цилиндр формалы: биіктігі 15 см және диаметрі 4 см тең. Модельдік жану камерасының кескіні 6 суретте бейнеленген. Модельдеу барысында қамтылған геометриялық есептеу аймағы 650 бақыланатын торларға жіктелінді. Сұйық отын тамшылары камераның төменгі бөлігіндегі инжектор арқылы камераға бүркіледі. Жану камерасының қабырғалары 353 К-ге, ал ондағы серіктес газ ағыны 900 К-ге дейін қыздырылады. Тамшылардың кіріс өлшемдері монодисперсті отын қоспасы үшін 25 мкм тең деп қабылданды. Инжектор соплосының отынды бүркү бұрышы 10^0 -қа тең болды. Сұйық отынды бүркү жылдамдығы 350 м/с күрайды.



4 сурет – Жану камерасының геометриясы

Берілген жұмыста жану камерасындағы октан мен додеканның бұрку және дисперсия процестеріне қысым мен бұрку массаларының әсері бойынша зерттеулер жүргізілді. Екі сұйық отын түрі – октан және додеканның жану процесінің әр түрлі параметрлеріне қысымның әсері зерттелінді. Есептеу тәжірибесін жүргізу үшін октан C_8H_8 және додекан $C_{12}H_{26}$ үшін қысымның мәндері 20 бардан 200 барға дейін 20 бар интервалмен өзгерсе, ал есептеулерде отын массалары 4 мг-нан 20 мг-ға дейінгі аралықта ауысып отырды.

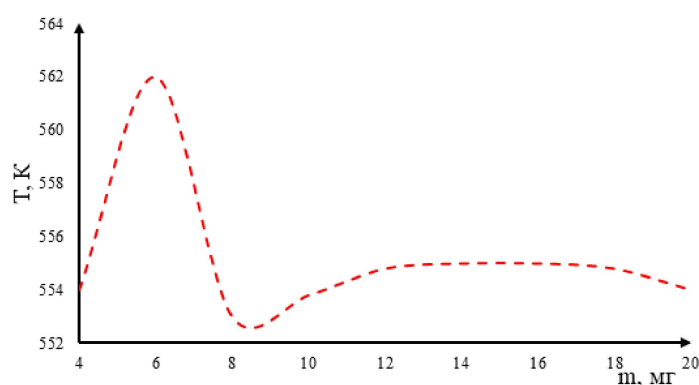
Модельдік камерадағы максимал жану температурасының газ қысымына тікелей тәуелді өзгерісін 5 суреттен байқауға болады. Қос көмірсутекті сұйық отынның (октан және додекан) температурасының таралу қисықтарын талдаудың нәтижесінде мынадай түжірым жасалды: октанның жану температурасы қысым артқан сайын монотонды өсетін болса, додекан температура шынына 80 бар қысым мәнінде жетеді, мұндағы ең жоғарғы температура 1954,98 К көрсеткішті құрайды. Октанның максимал жану температурасы 1948,79 К камера-дағы қысымның 100 бар мәнінде орнайды.



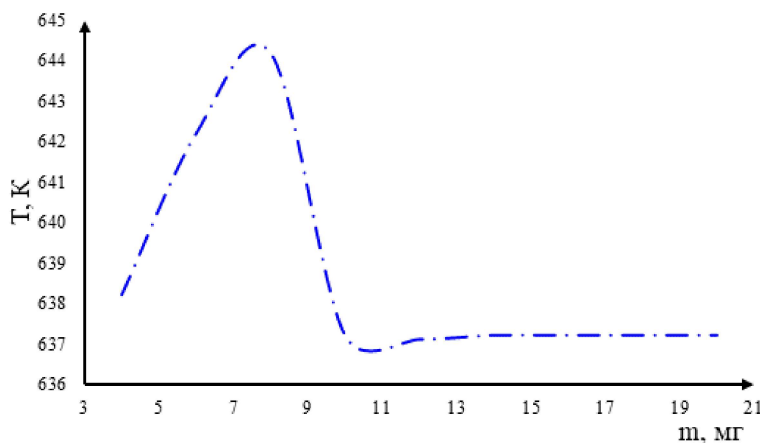
5-сурет – Октан мен додеканның максимал температураларының жану камерасындағы қысымға тәуелділігі

Төменде 6 және 7 суреттерде тамшылардың бастапқы меншікті массаларының олардың бұрку, булану және жану процестеріне әсері компьютерлік модельденген. Суреттерде сұйық отындардың бұрку массаларына қатысты октан мен додекан тамшыларының температураларын камера ішінде таралуы бейнеленген.

6 суреттегі графикті талдау көрсеткендей, бұрку массасының артуы салдарынан октанның температурасы да қоса артып, 6 мг масса мәнінде температуралың мәні 562 К құрайды. 7 суреттен көрініп түрғанында, додекан үшін 644 К тең температура мәні 7 мг массага сәйкес келеді.



6-сурет – Октан тамшыларының температурасының сұйық отын массасына қатысты таралуы



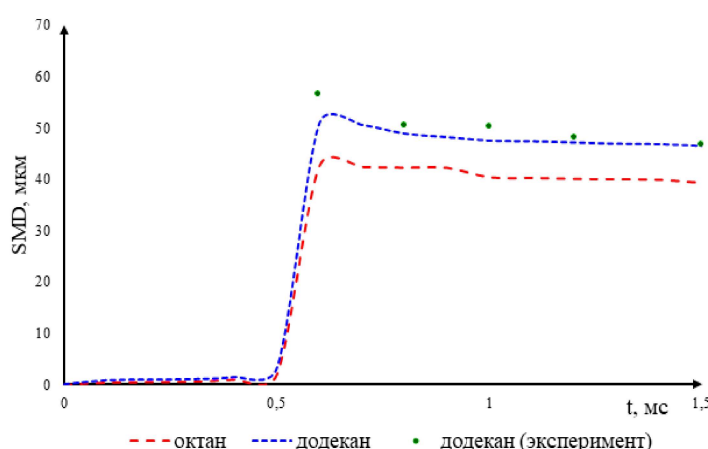
7-сурет – Тамшылардың бүркү массасының додеканың меншікті жану температурасына әсері

Сонымен қатар жұмыста инжектордан алыстаған сайын октан мен додекан тамшыларының Саутерлік орташа диаметрлерінің (SMD) уақыттық ұлесуінің модельдік, әрі эксперименттік есептеу тәжірибелері ұсынылған. Тамшылардың Саутерлік орташа диаметрі отын-ауалы екіфазалы қоспадағы бөлшектердің өлшемдері бойынша таралуының беттік-көлемдік параметріне жатады. Жүргізілген сандық модельдеу тәжірибелері бірқатар авторлардың еңбектерінен [23] алынған эксперименттік деректермен салыстырылды (8 сурет).

Экспериментте сопло инжекторының шығысынан 10-60 мм аралығындағы әр 10 мм сайынғы

қашықтықтағы додекан бөлшектерінің таралуының ерекшеліктері өлшенген [23]. Аталмыш жұмыста ұқсас зерттеулер соплодан 50 мм қашықтықта октан мен додекан бөлшектерінің уақыттық ұлесуі сандық модельдеудің көмегімен жүзеге асырылды.

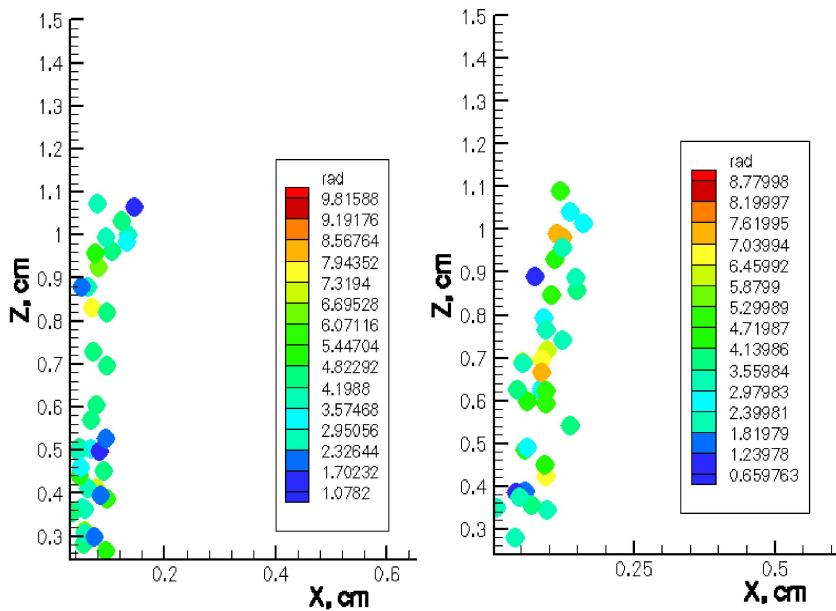
8 суреттен корініп тұрғанында, натурлық және компьютерлік тәжірибелер жеткілікті деңгейде жақсы сәйкес келеді. 8 суретте кескінделген қисықтарға салыстырмалы талдау жүргізу арқылы додекан бөлшектерінің сандық және тәжірибелік уақыттық ұлесулерінің өзара жақсы үйлесімділікте екендігін анық байқауға болады.



8-сурет – Инжектордан 50 мм қашықтықтағы октан мен додекан тамшыларының орташа Саутер диаметрлерінің (SMD) уақыт бойынша таралуын тәжірибемен салыстыру

Қол жеткізілген сандық модельдеу нәтижелерін талдау арқылы октан үшін тиімді қысым мәні 100 бар және додекан үшін 80 бар, ал тиімді масса мәні октан үшін 6 мг-ға, ал додекан үшін 7 мг-ға тең деген қорытынды жасауға болады.

9 суреттен қысым мен массаның тиімді мәндеріне сәйкес белгілі уақыт мезеттеріндегі жану камерасының кеңістігіндегі октан және додекан сұйық бөлшектерінің радиусы бойынша үлесулерін көруге болады.



a) октан ә) додекан

9-сурет – $t=1,8$ мс уақыт мезетіндегі октан және додекан тамшыларының радиусы бойынша дисперсиясы

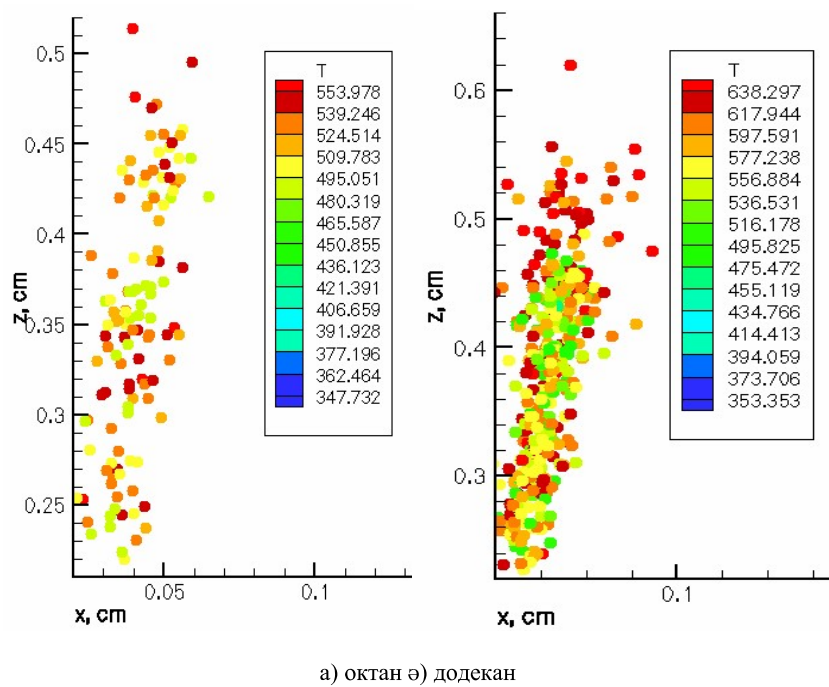
Сандық тәжірибелің бастанқы тұсында екіфазалы қоспа монодисперсті болғандықтан тамшылар бірдей өлшемде таралғанымен тұтапу, булану және жану процестерінің әсерінің салдарынан өзара соқтығысып, әрі импульс алмасуының нәтижесінде бірінші немесе ұсақ тамшыларға жіктелуі себебінен бөлшектердің меншікті өлшемдері (радиусы) өзгеріске ұшырай бастайды.

Октан тамшыларының ең үлкен меншікті радиусының өлшемі 9,8 микронға тең болса, додекан тамшылары 8,8 микронға дейін үлғая түседі. Жоғарыдағы 9 суретті әрі қарай талдауды жалғастыра отырып, өлшемдері үлкен бөлшектердің тығыздығының аздығын және камераның жалпы кеңістігінен өзге көлеміндегі тамшылардың орташа массалық үлесі 2-ден 6 микронға дейін сиретілетіндігіне көз жеткізе аламыз. Додекан тамшылары жану процесінің барысында камераның 1,4 см биіктігіне және көлденен бағытта 0,25 см ені бойымен алыс

қашықтықтарға таралып кететіндігі айқын көрініп түр. Бұл кезекте октан бөлшектері керісінше қысқа қашықтықта камераның 1,1 см биіктігі мен 0,2 см ені арылышындағы аймақта шоғырланады (9 сурет).

4 мс уақыт мезетіндегі октан және додекан тамшыларының меншікті температурасына қатысты тығыздығының үлесуі 10 суретте бейнеленген.

Камераның төменгі тұсында октан бөлшектері 348 К, ал додекан тамшылары 353 К температуралы қамти отырып, жану аймағының ауданына бірте-бірте бойлай түседі. Жану процесінің $t=4$ мс мезетінде октан бөлшектерінің меншікті температурасының ең жоғары шамасы 554 К-ге жетсе, осы мезеттегі додекан тамшыларының температурасының шекті мәні 638 К-ді тенгереді. Осы тұжырымнан октанмен салыстырғанда додекан бөлшектерінің меншікті температурасының дисперсиясы едөуір жоғары болатындығына көз жеткіземіз.



а) октан ә) додекан

10-сурет – $t=4$ мс уақыт мезетіндегі октан және додекан тамшыларының меншікті температурасы бойынша дисперсиясы

Қорытынды

Бұл жұмыста цилиндрлік жану камера-сындағы қысым мен массаның әр түрлі мәндерінің екі түрлі сұйық отындардың (октан және додекан) тұтану, жану және булану процестеріне әсері компьютерлік модельденді.

Жұмыста жану камерасына бүркілетін сұйық отындардың жіктелуі, дисперсиясы, булану және жану процестерін сипаттайтын мәселенің математикалық және геометрилық модельдері түрғызылды.

Жүргізілген есептеу тәжірибелерінің нәтижесінде тәмендегідей қорытынды жасауға болады. Жүргізілген есептеу тәжірибелерінің нәтижелерін талдау арқылы октан үшін тиімді қысым мәні 100 бар және додекан үшін 80 бар, ал тиімді масса мәні октан үшін 6 мг-ға, ал додекан үшін 7 мг-ға тең деген қорытынды жасауға болады.

Берілген қысым мен масса мәндерінде тамшылардың өз температурасы мен жану камера-сындағы жану температурасы максимал мәндеріне жетеді. Қысымның аталған мәндерінде отын тамшылары қарқынды түрде булана бастайды. Сонымен қатар жану камерасындағы қысымның сұйық отындарды бүркү және олардың дисперсиясы процестеріне әсерін зерттеу арқылы екі отын түрі үшін қысымның өсуі жоғары температуралардың таралу облысының өсуіне алып келетіндігі дәлелденді. Бүркү массасының тиімді қысым мәндеріне сәйкес әрі қарай артуы октан және додекан үшін жану процесін нашарлатып, температураларын кезекті тәмендеуіне алып келеді.

Жұмыста жүргізілген зерттеулер Қазақстан Республикасының Фылым және жоғарғы білім министрлігінің қаржылай қолдауымен №АР19679741 жүзеге асырылды.

Әдебиеттер

1 Askarova A, Georgiev A, Beketayeva M Computational modeling of pollutants in furnaces of pulverized coal boilers of the republic of Kazakhstan. Energy 2022;258:24826.
<https://doi.org/10.1016/j.energy.2022.124826>

2 Bolegenova S, Askarova A, Slavinskaya N, et al. Statistical modeling of spray formation, combustion, and evaporation of liquid fuel droplets. Physical Sciences and Technology 2022;9:69-82. <https://doi.org/10.26577/phst.2022.v9.i2.09>

- 3 Berezovskaya I, Tasmukhanova A, et al. Investigation of the influence of liquid fuel injection rate on the combustion process using KIVA-II software. Eurasian Physical Technical Journal 2023;20:43-51.
<https://doi.org/10.31489/2023No3/43-51>
- 4 Zhang H, Sun W, Guo L, et al. An experimental study of using coal to liquid (CTL) and diesel as pilot fuels for gasoline dual-fuel combustion. Fuel 2021;289:119962.
<https://doi.org/10.1016/j.fuel.2020.119962>
- 5 Askarova A, et al. 3D modelling of heat and mass transfer processes during the combustion of liquid fuel. Bulgarian Chemical Communications 2016;48:229-235.
- 6 Sugirbekova A, Berezovskaya I, Tuyakbayev A, et al. Investigation of various types of liquid fuel atomization and combustion processes at high turbulence. Journal of Engineering and Applied Science 2018;13:4054-4064.
- 7 Askarova A, Beketayeva M, Bolegenova S, et al. Control harmful emissions concentration into the atmosphere of megacities of Kazakhstan Republic. IERI Procedia 2014;10:252-258.
<https://doi.org/10.1016/j.ieri.2014.09.085>
- 8 Huang J, Zhao X Numerical simulations of atomization and evaporation in liquid jet flows. International Journal of Multiphase Flow 2019;119:180-193.
<https://doi.org/10.1016/j.ijmultiphaseflow.2019.07.018>
- 9 Bolegenova S, Aldiyarova A, Ungarova N, et al. Simulation of non-isothermal liquid sprays under large-scale turbulence. Physical Sciences and Technology. 2021;8:28-40.
<https://doi.org/10.26577/phst.2021.v8.i2.04>
- 10 Gorokhovski M The stochastic Lagrangian model of drop breakup in the computation of liquid sprays. Atomization and Sprays 2001;1:169-176.
<http://dx.doi.org/10.1615/AtomizSpr.v11.i5.20>
- 11 Askarova AS, et al. Investigation of various types of liquid fuel atomization and combustion processes at high turbulence. Journal of Engineering and Applied Sciences 2018;13:4054-4064.
- 12 Askarova AS, et al. Numerical simulation of the oxidant's temperature and influence on the liquid fuel combustion processes at high pressures. Journal of Engineering and Applied Sciences 2015;10:90-95.
- 13 Gao D, Morley NB, Dhir V Numerical simulation of wavy falling film flow using VOF method. Journal of Computational Physics 2003;192:624-642.
<https://doi.org/10.1016/j.jcp.2003.07.013>
- 14 Slavinskaya N, Aldiyarova A, Zhagaparov A, et al. Investigation of the droplet dispersion influence on the atomization of liquid fuel processes in view of large-scale structures formation. Recent Contributions to Physics 2022;80:75-86.
<https://doi.org/10.26577/RCPh.2022.v80.i1.09>
- 15 Gorokhovski M, Herrmann M Modeling primary atomization. Annual Review of Fluid Mechanics 2008;40:343-366.
<https://doi.org/10.1146/annurev.fluid.40.111406.102200>
- 16 Gorokhovski M The stochastic Lagrangian model of drop breakup in the computation of liquid sprays. Atomization and Sprays 2001;1:169-176.
<http://dx.doi.org/10.1615/AtomizSpr.v11.i5.20>
- 17 Beketayeva MT, Pilipenko NV, Baktybekov KS, Syzdykov AB, et al. Investigation of the different Reynolds numbers influence on the atomization and combustion processes of liquid fuel. Bulgarian Chemical Communications 2018;50: 68-77.
- 18 Bolegenova S, Askarova A, Georgiev A, et al. The use of plasma technologies to optimize fuel combustion processes and reduce emissions of harmful substances. Energy 2023;277: 127635.
<https://doi.org/10.1016/j.energy.2023.127635>
- 19 Safarik P, Nugymanova A, Ospanova Sh, et al. Study of the aerodynamics of the flow of the combustion chamber of a power plant with various supply of solid fuel. Recent contributions to Physics 2022;83:49-57.
<https://doi.org/10.26577/RCPh.2022.v83.i4.06>
- 20 Messerle V, Ustimenko A, Karpenko E, Loktionova, et al. Optimization of the combustion of power station coals using plasma technologies. Thermal Engineering 2004;51:488-493.
- 21 Safarik P, Nugymanova A, Ospanova Sh, et al. Study of the aerodynamics of the flow of the combustion chamber of a power plant with various supply of solid fuel. Recent contributions to Physics 2022;83:49-57.
<https://doi.org/10.26577/RCPh.2022.v83.i4.06>
- 22 Amsden AA, O'Rourke PJ, Butler TD KIVA-II: A computer program for chemically reactive flows with sprays. Los Alamos, 1989, 160 p.
- 23 Arcoumanis C, Cutter P, Whitelaw DS Heat transfer processes in diesel engines. Institution of Chemical Engineer Trans IChemE 1998;76:124-132.

Авторлар туралы мәлімет:

Болегенова Салтанат Алихановна – физика-математика гылымдарының докторы, өл-Фараби атындағы ҚазҰУ жылуғирика және техникалық физика кафедрасының профессоры (Алматы қ-сы, Қазақстан, әл.почта: Saltanat.Bolegenova@kaznu.edu.kz);

Аскарова Алия Сандыбаевна – физика-математика гылымдарының докторы, өл-Фараби атындағы ҚазҰУ жылуғирика және техникалық физика кафедрасының профессоры (Алматы қ-сы, Қазақстан, әл.почта: Aliya.Askarova@kaznu.edu.kz);

Оспанова Шынар Сабитовна (корреспонденция авторы) – PhD, өл-Фараби атындағы ҚазҰУ жылуғирика және техникалық физика кафедрасының ага оқытушысы (Алматы қ-сы, Қазақстан, әл.почта: Shynar.Ospanova@kaznu.edu.kz);

Нұрмұханова Альфия Зейнұлловна – техника гылымдарының кандидаты, әл-Фараби атындағы ҚазҰУ жылуғицика және техникалық физика кафедрасының аға оқытушысы (Алматы қ-сы, Қазақстан, әл.почта: alfiya.nurmukhanova777@gmail.com);

Адильбаев Нуркен Амидоллаевич – әл-Фараби атындағы ҚазҰУ «8D07106-Жылуғнергетикасы» білім беру бағдарламасының 1 курс докторантты (Алматы қ-сы, Қазақстан, әл.почта: adilbayev_nurken2@live.kaznu.kz);

Маканова Аяулым Болаткановна – әл-Фараби атындағы ҚазҰУ «7M05305-Техникалық физика (ITMO)» білім беру бағдарламасының 1 курс магистрантты (Алматы қ-сы, Қазақстан, әл.почта: aiko.20.20@mail.ru);

Жұмагалиева Сабина Ауданбайқызы – әл-Фараби атындағы ҚазҰУ «7M05305-Техникалық физика (ITMO)» білім беру бағдарламасының 1 курс магистрантты (Алматы қ-сы, Қазақстан, әл.почта: zhumasabina@icloud.com);

Шалқар Ақжол – әл-Фараби атындағы ҚазҰУ «7M05305-Техникалық физика (ITMO)» білім беру бағдарламасының 2 курс магистрантты (Алматы қ-сы, Қазақстан, әл.почта: Shalkar.akzhol@gmail.com);

Сведения об авторах:

Болегенова Салтанат Алихановна – доктор физико-математических наук, профессор кафедры теплофизики и технической физики КазНУ им. аль-Фараби (г. Алматы, Казахстан, әл.почта: Saltanat.Bolegenova@kaznu.edu.kz);

Аскарова Алия Сандыбаева – доктор физико-математических наук, профессор кафедры теплофизики и технической физики КазНУ им. аль-Фараби (г. Алматы, Казахстан, әл.почта: Aliya.Askarova@kaznu.edu.kz);

Оспанова Шынар Сабитовна (корреспондентный автор) – PhD, старший преподаватель кафедры теплофизики и технической физики КазНУ им. аль-Фараби (г. Алматы, Казахстан, әл.почта: Shynar.Ospanova@kaznu.edu.kz);

Нұрмұханова Альфия Зейнұлловна – кандидат технических наук, старший преподаватель кафедры теплофизики и технической физики КазНУ им. аль-Фараби (г. Алматы, Казахстан, әл.почта: alfiya.nurmukhanova777@gmail.com);

Адильбаев Нуркен Амидоллаевич – докторант 1 курса образовательной программы «8D07106-Теплоэнергетика» КазНУ им. аль-Фараби (г. Алматы, Казахстан, әл.почта: adilbayev_nurken2@live.kaznu.kz);

Маканова Аяулым Болаткановна – магистрантка 1 курса образовательной программы «7M05305-Техническая физика (ITMO)» (г. Алматы, Казахстан, әл.почта: aiko.20.20@mail.ru);

Жұмагалиева Сабина Ауданбайқызы – магистрантка 1 курса образовательной программы «7M05305-Техническая физика (ITMO)» (г. Алматы, Казахстан, әл.почта: zhumasabina@icloud.com);

Шалқар Ақжол – магистрант 2 курса образовательной программы «7M05305-Техническая физика (ITMO)» (г. Алматы, Казахстан, әл.почта: Shalkar.akzhol@gmail.com);

Information about authors:

Bolegenova Saltanat – Doctor of Physical and Mathematical Sciences, Professor of the Department of Thermophysics and Technical Physics of al-Farabi Kazakh National University (Almaty, Kazakhstan, e-mail: Saltanat.Bolegenova@kaznu.edu.kz);

Askarova Aliya – Doctor of Physical and Mathematical Sciences, Professor of the Department of Thermophysics and Technical Physics of al-Farabi Kazakh National University (Almaty, Kazakhstan, e-mail: Aliya.Askarova@kaznu.edu.kz);

Ospanova Shynar (corresponding author) – PhD, Senior Lecturer of the Department of Thermophysics and Technical Physics of al-Farabi Kazakh National University (Almaty, Kazakhstan, e-mail: Shynar.Ospanova@kaznu.edu.kz);

Nurmukhanova Alfiya – Candidate of Technical Sciences, Senior Lecturer of the Department of Thermophysics and Technical Physics of al-Farabi Kazakh National University (Almaty, Kazakhstan, e-mail: alfiya.nurmukhanova777@gmail.com);

Adilbayev Nurken – 1st year doctoral student of the educational program «8D07106-Thermal Power Engineering» of al-Farabi Kazakh National University (Almaty, Kazakhstan, e-mail: adilbayev_nurken2@live.kaznu.kz);

Makanova Ayauly – 1st year master student of the educational program «7M05305-Technical Physics (ITMO)» (Almaty, Kazakhstan, e-mail: aiko.20.20@mail.ru);

Zhumagaliyeva Sabina – 1st year master student of the educational program «7M05305-Technical Physics (ITMO)» (Almaty, Kazakhstan, e-mail: zhumasabina@icloud.com);

Shalkar Akzhol – 2nd year master student of the educational program «7M05305-Technical Physics (ITMO)» (Almaty, Kazakhstan, e-mail: Shalkar.akzhol@gmail.com);

2 мамыр 2024 қарастырылуға жіберілді

30 мамыр 2024 қабылданды